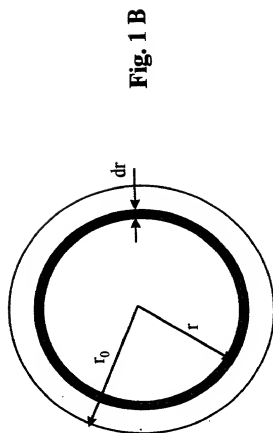
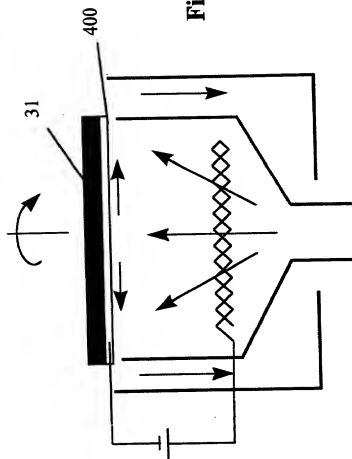
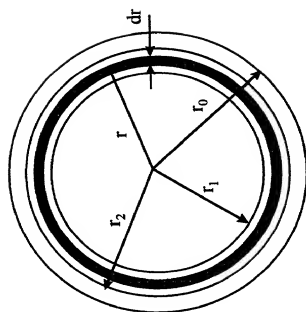


100114-20022888



**Fig. 2**

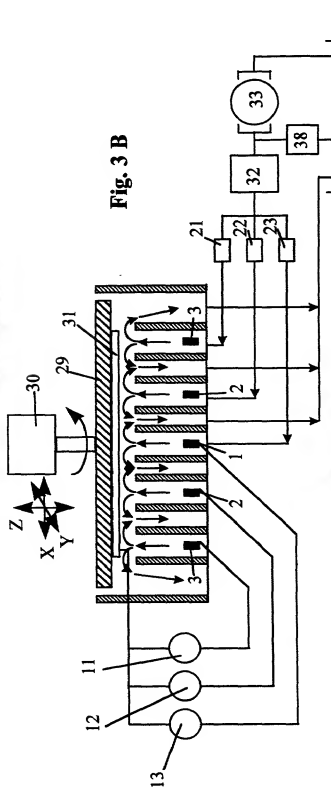
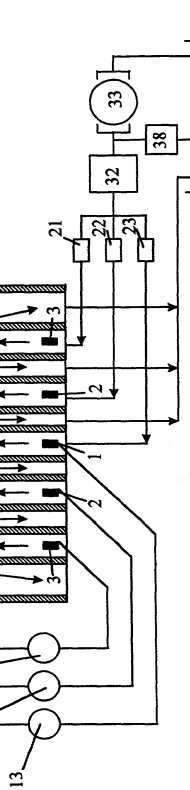


Fig. 3 A

Fig. 3 B



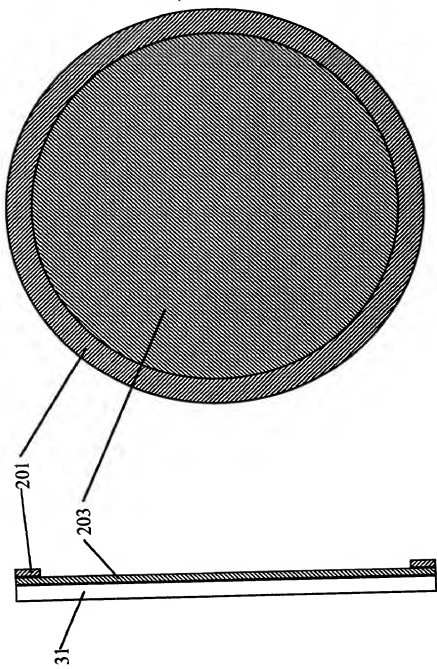


Fig. 4 B

Fig. 4 A

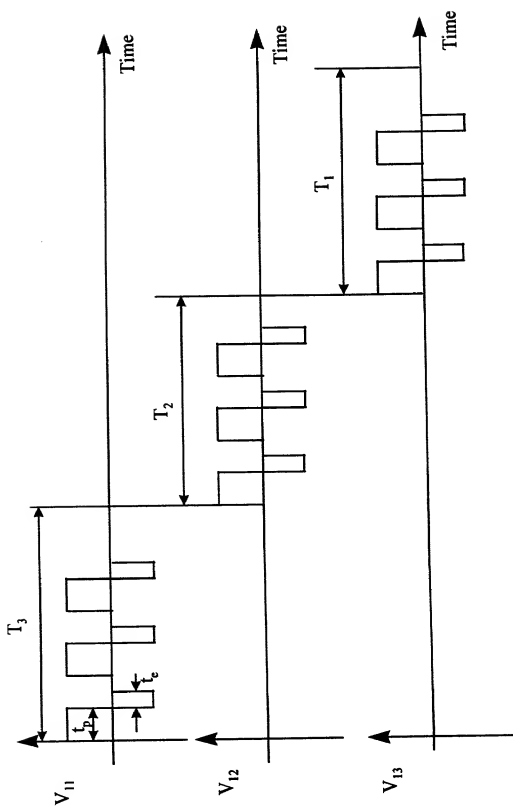
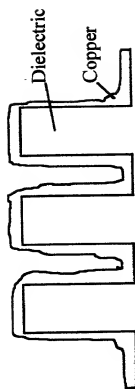
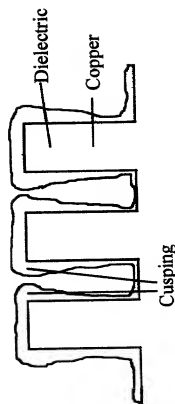


Fig. 5



**Fig. 6 A Large Ratio of  $t_e/t_p$**



**Fig. 6 B Small Ratio of  $t_e/t_p$**

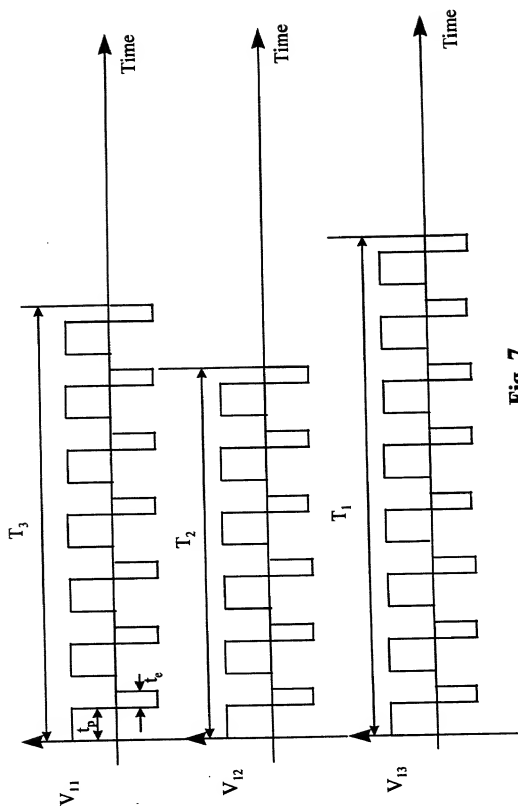


Fig. 7

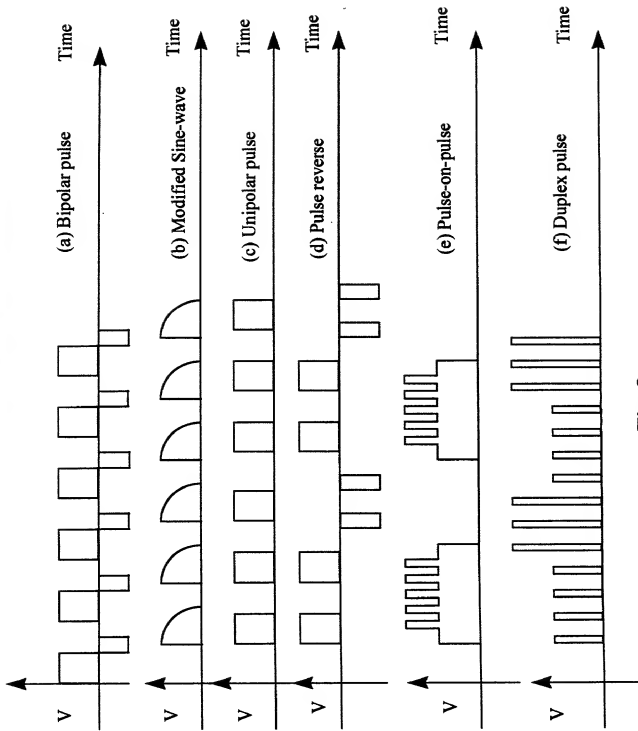
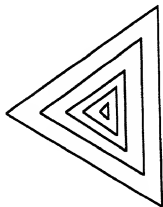
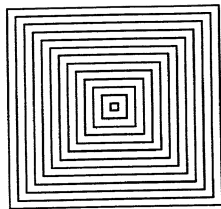


Fig. 8

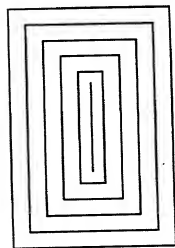




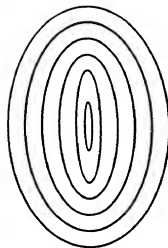
**Fig. 9 A**



**Fig. 9 B**



**Fig. 9 C**



**Fig. 9 D**

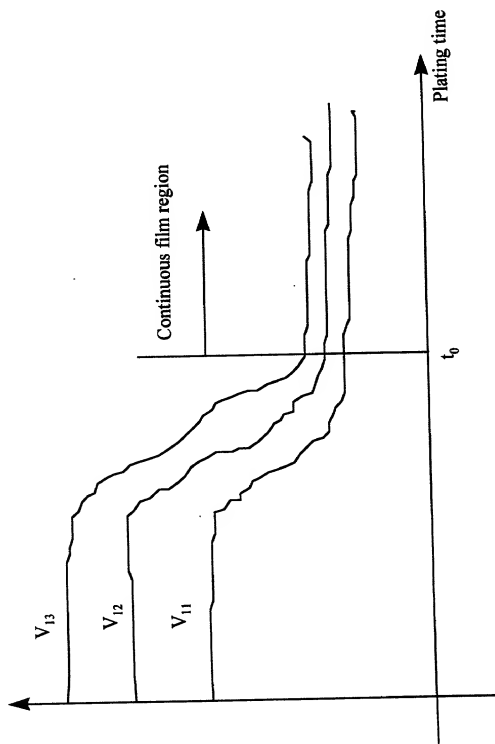
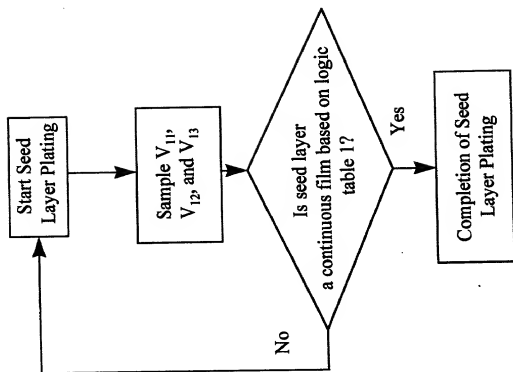


Fig. 10

**Fig. 11**

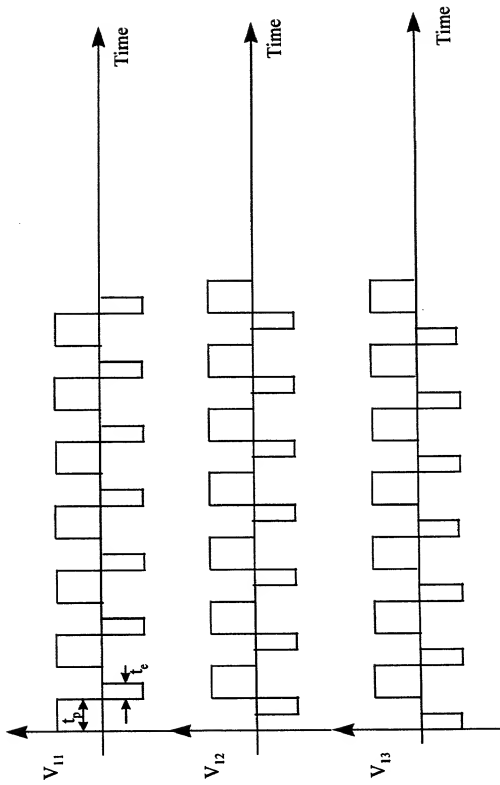
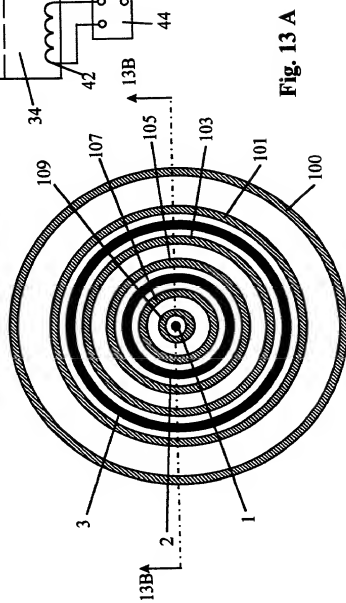
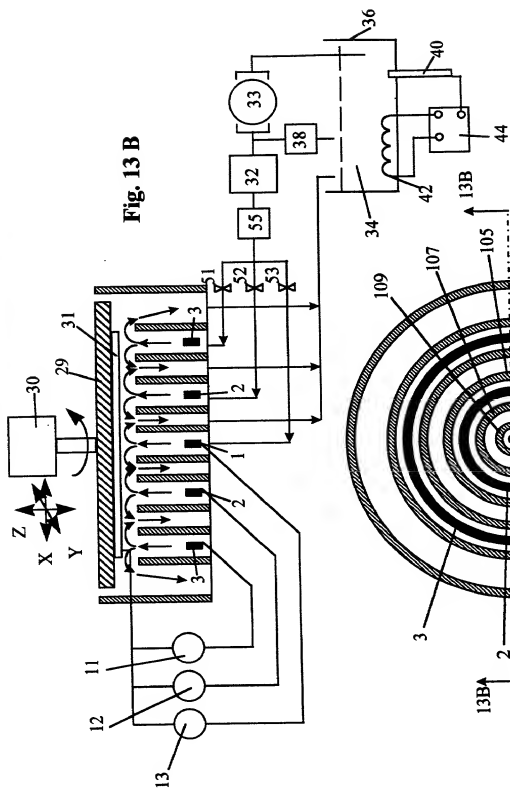


Fig.12



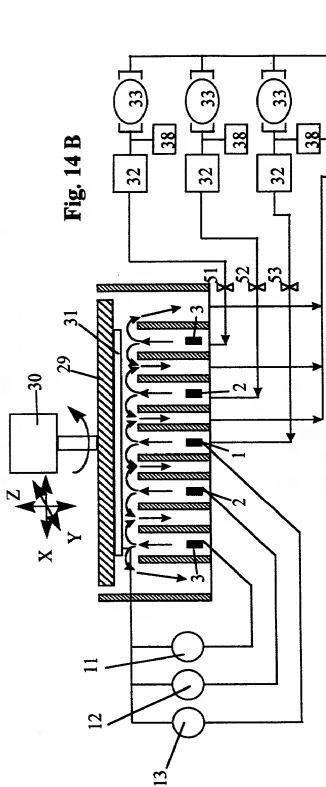


Fig. 14 B

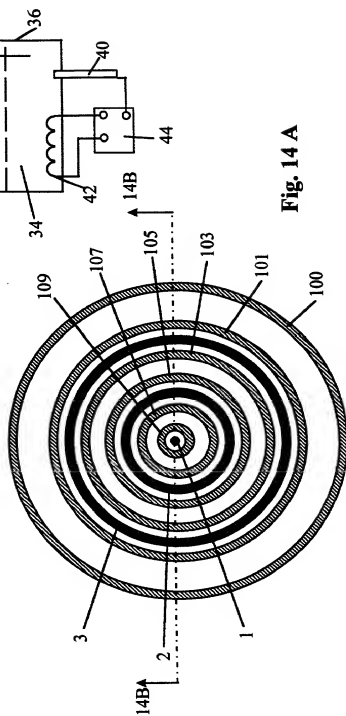


Fig. 14 A

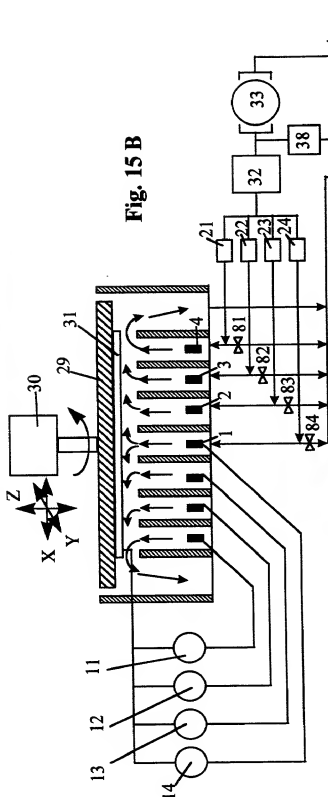


Fig. 15 B

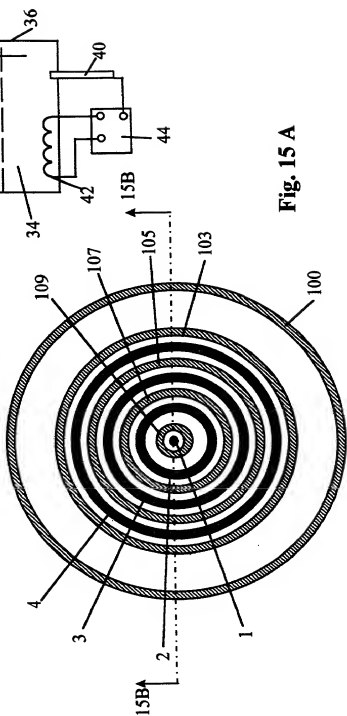


Fig. 15 A

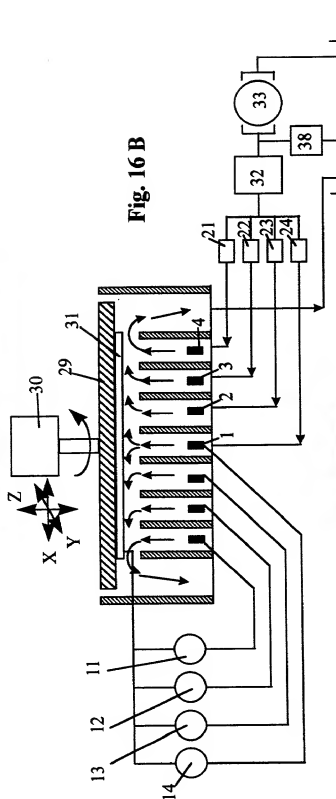


Fig. 16 B

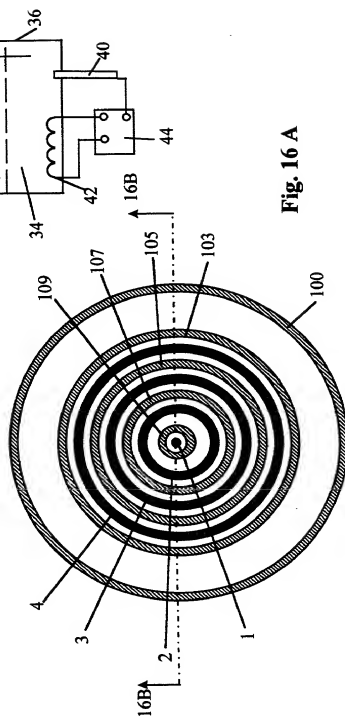


Fig. 16 A



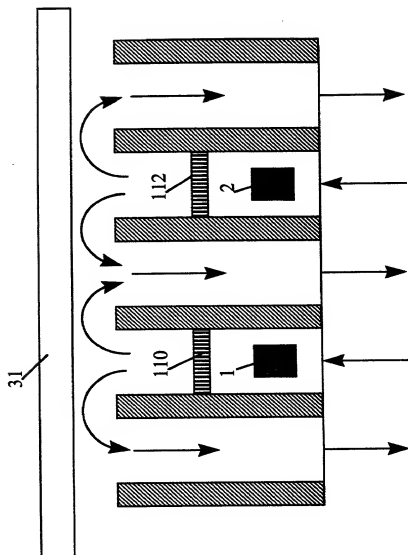


Fig. 17

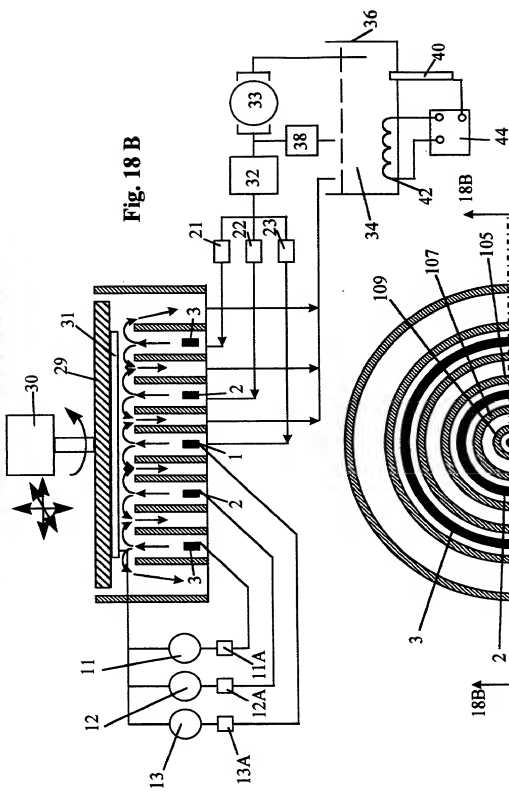


Fig. 18 B

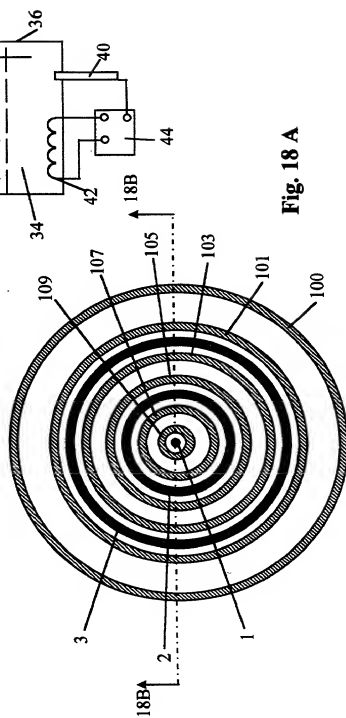


Fig. 18 A

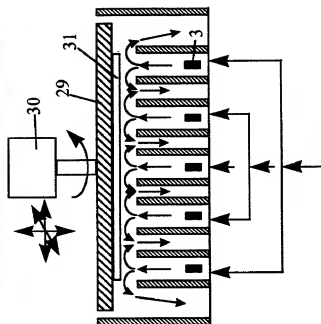


Fig. 19 B

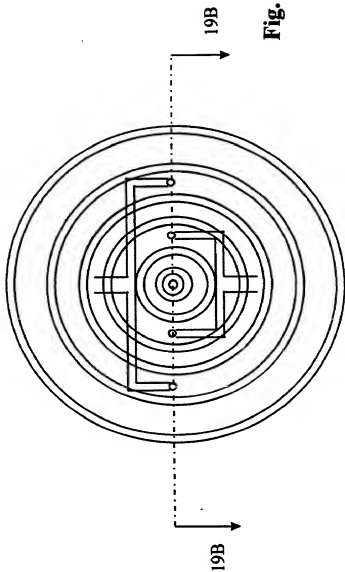


Fig. 19 A

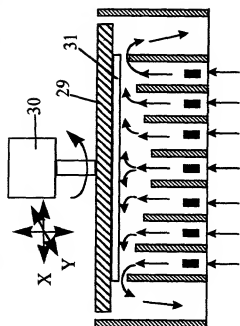


Fig. 20 A

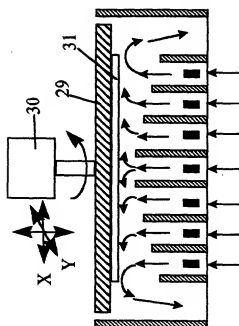


Fig. 20 B

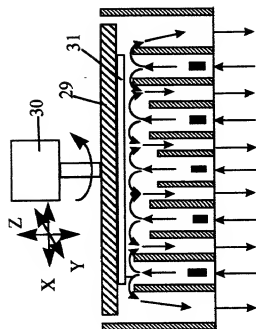


Fig. 21 A

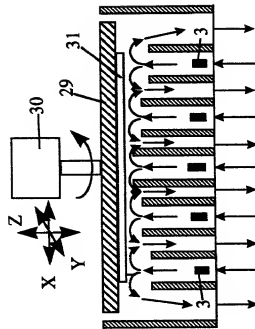


Fig. 21 B

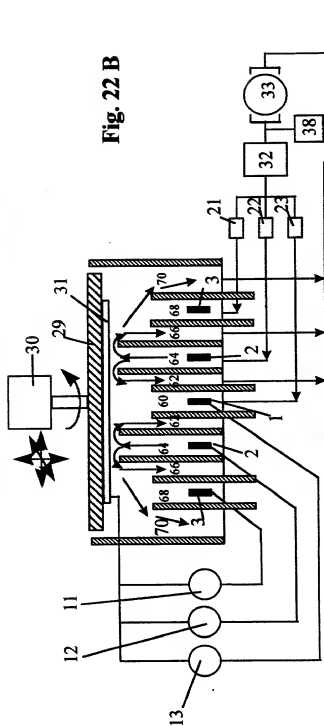


Fig. 22 B

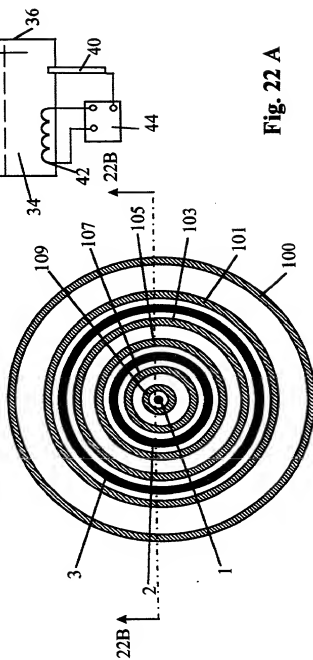


Fig. 22 A

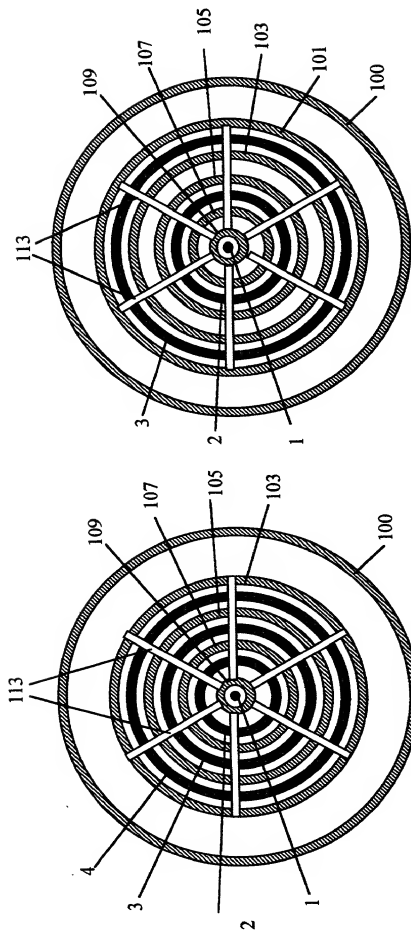
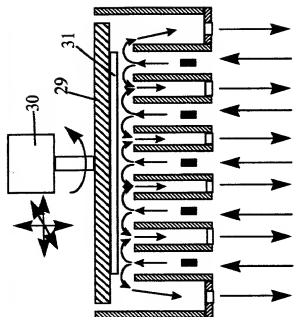


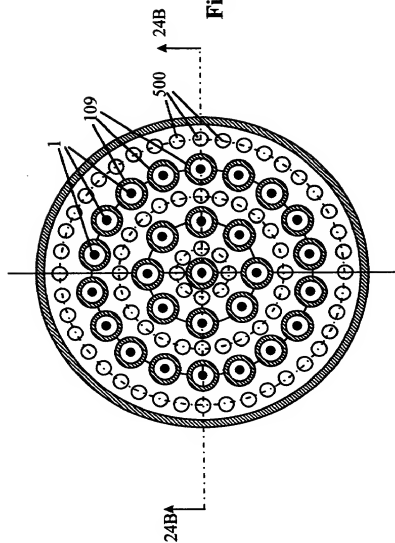
Fig. 23B

Fig. 23 A

103740 \* 2002 2800

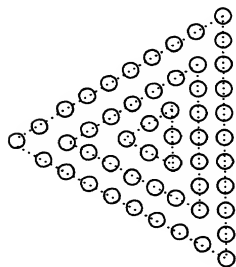


**Fig. 24 B**

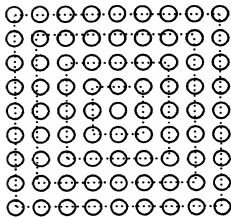


**Fig. 24 A**





**Fig. 25 A**



**Fig. 25 B**



**Fig. 25C**

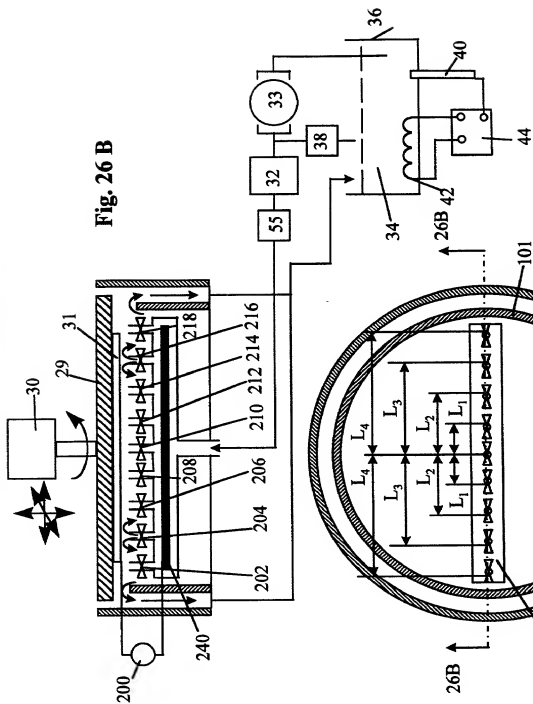


Fig. 26 B

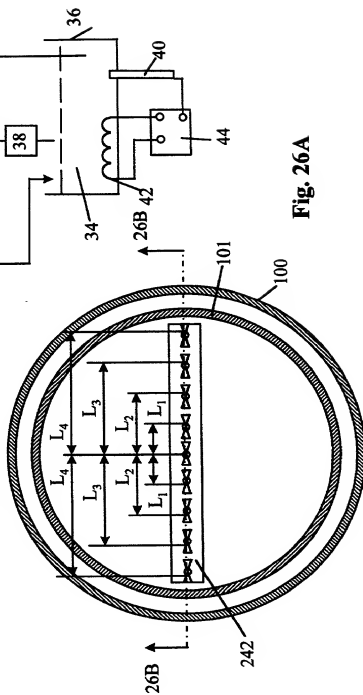


Fig. 26A

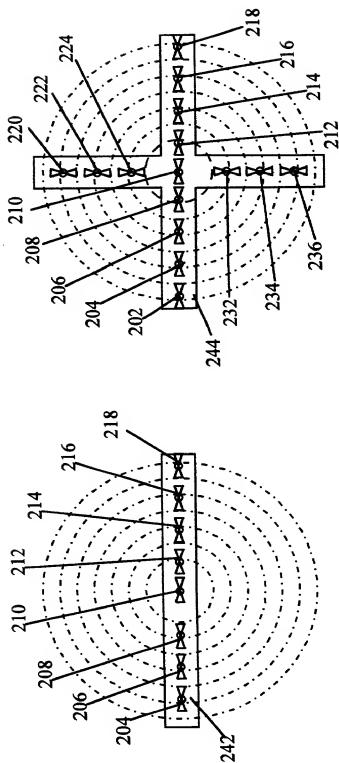


Fig. 28

Fig. 27

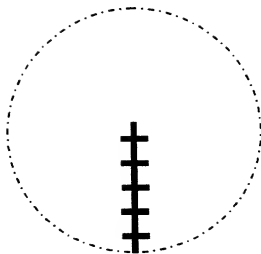


Fig. 29C

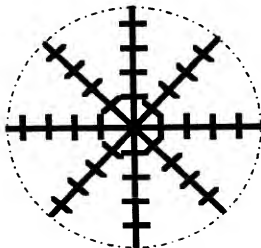


Fig. 29B

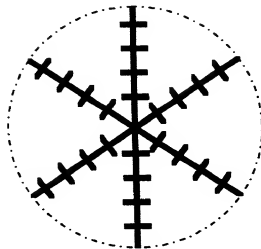


Fig. 29A

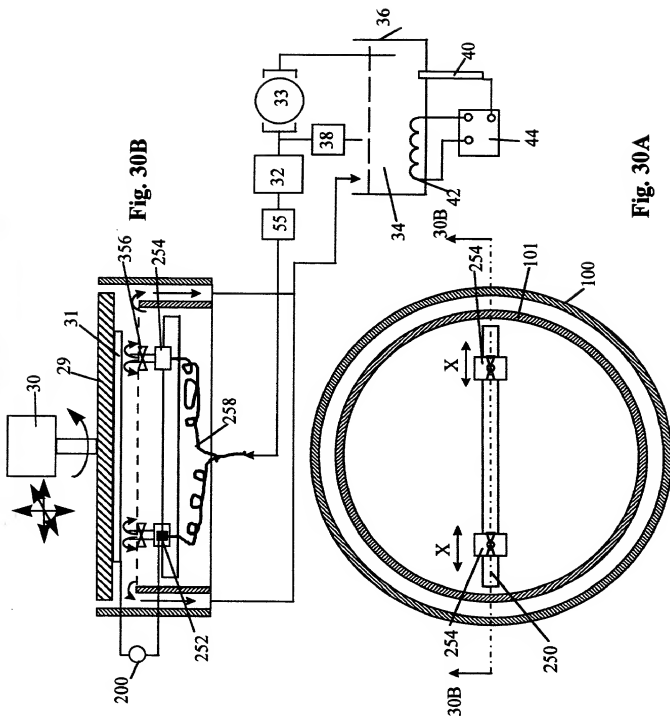


Fig. 30A

Fig. 30B

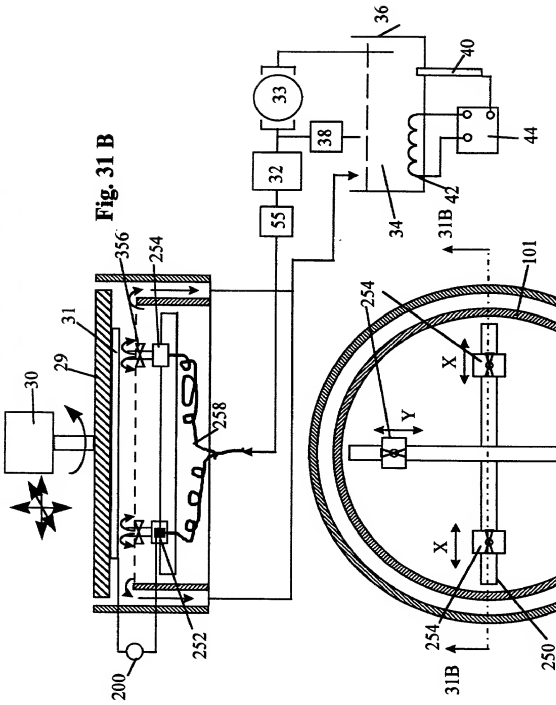
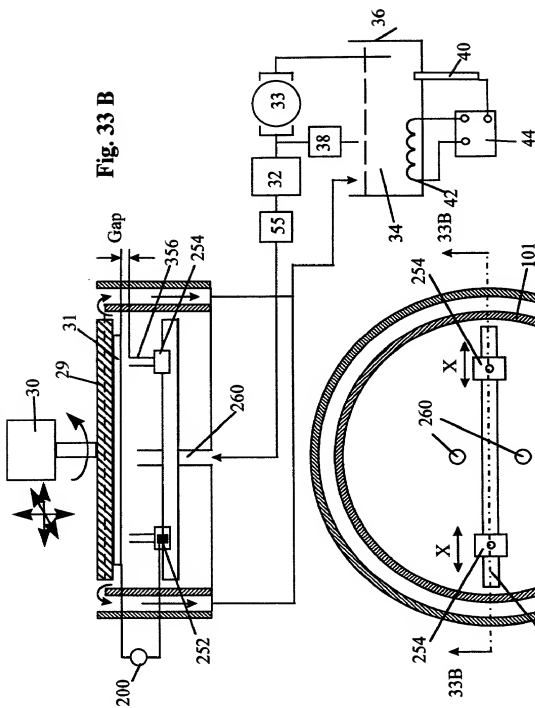


Fig. 31B

Fig. 31A







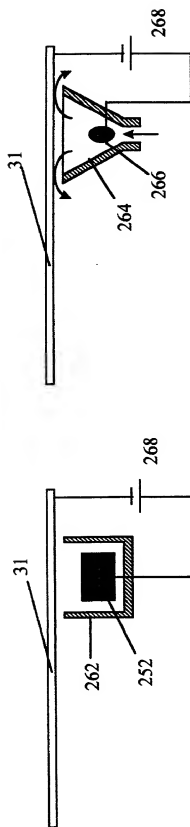


Fig. 34 A

Fig. 34 B

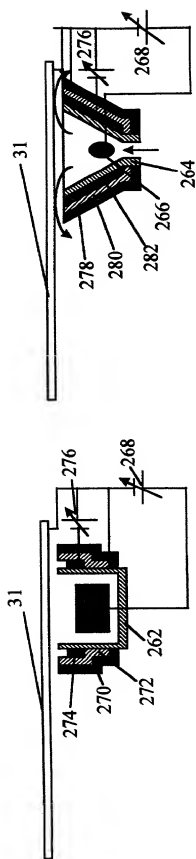


Fig. 34 C

Fig. 34 D

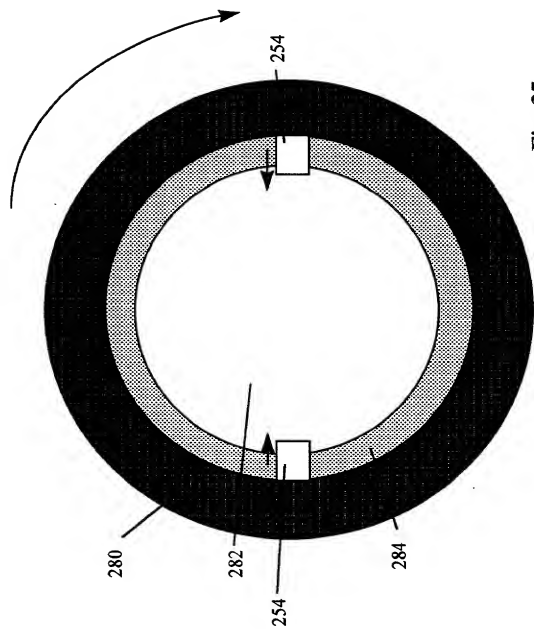


Fig. 35

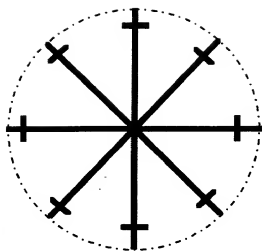


Fig. 36 B



Fig. 36 D

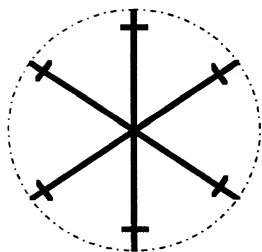


Fig. 36 A

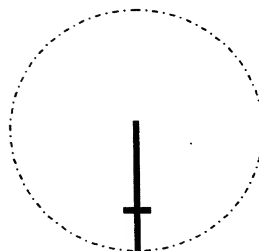


Fig. 36 C

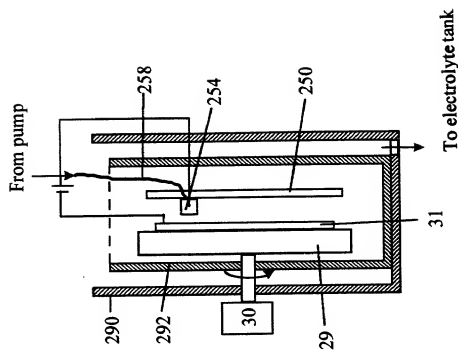


Fig. 37 B

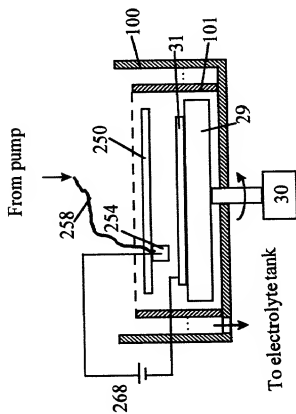


Fig. 37 A



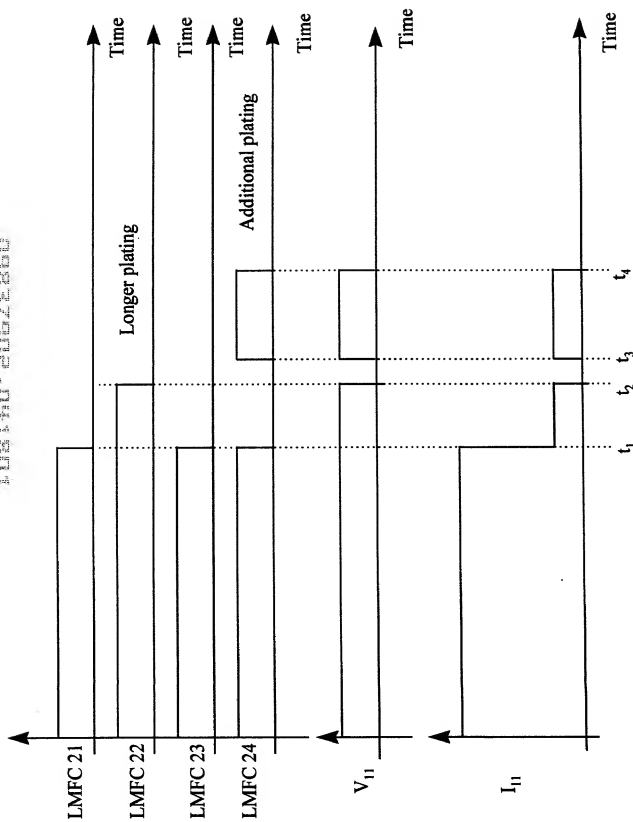
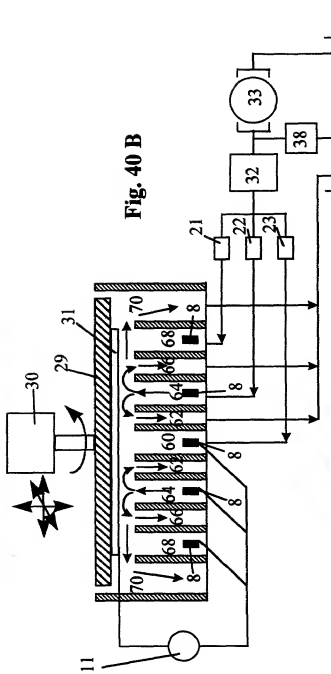
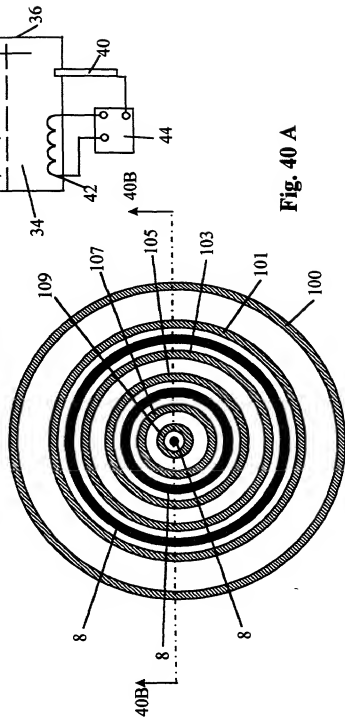


Fig. 39



**Fig. 40 B**



**Fig. 40 A**

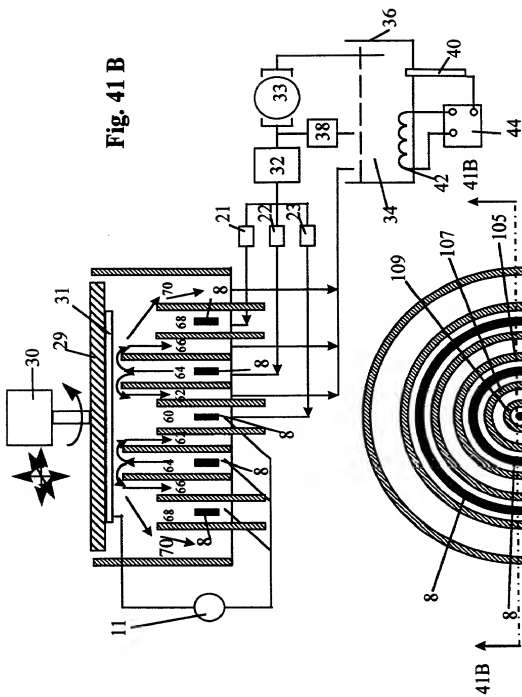


Fig. 41 B

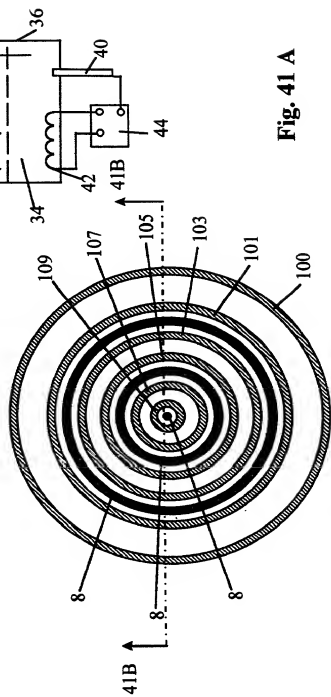


Fig. 41 A



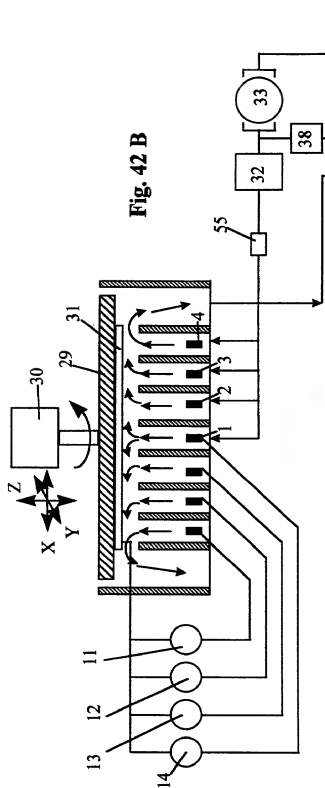


Fig. 42 B

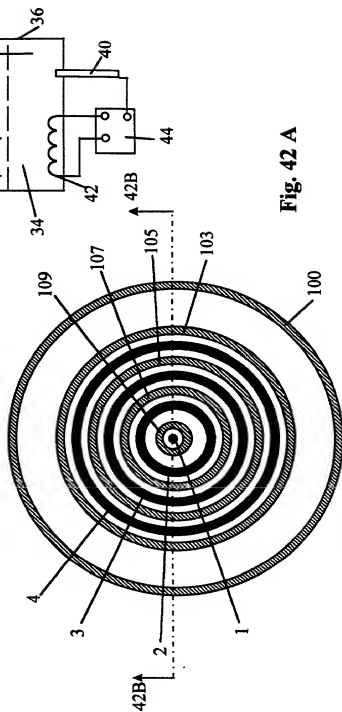


Fig. 42 A

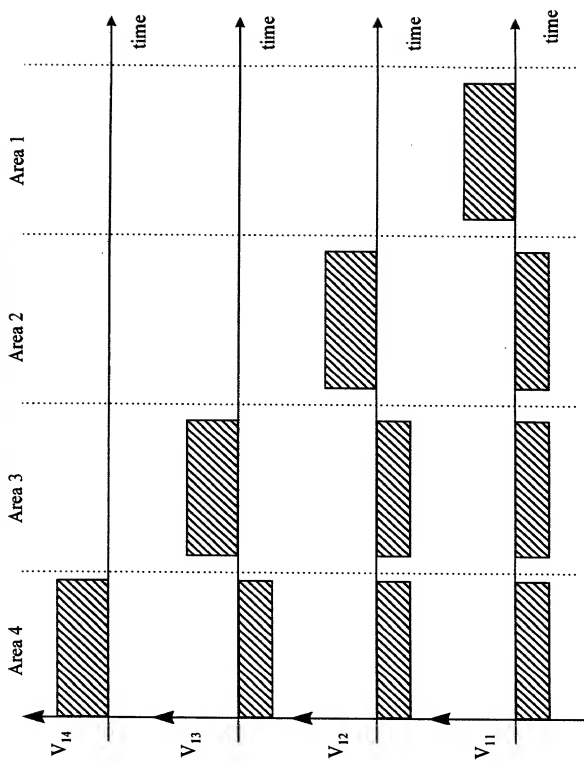


Fig. 43

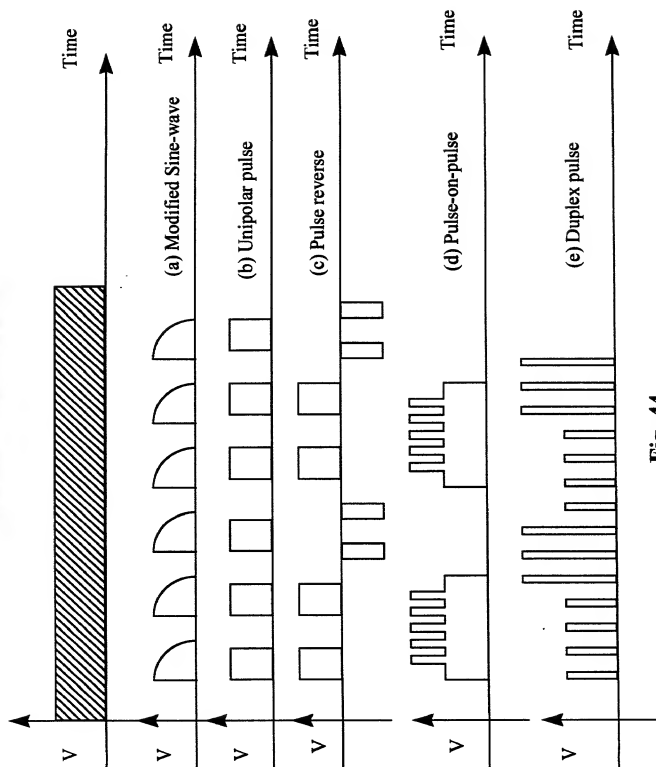
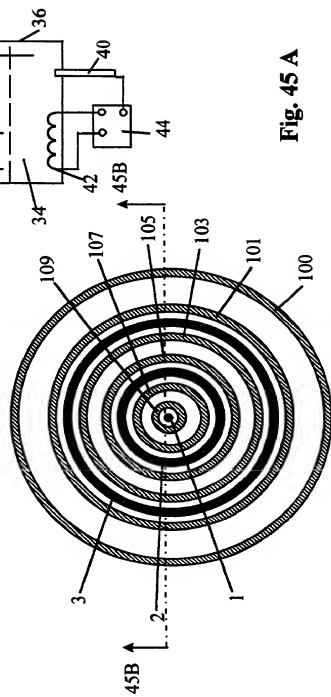
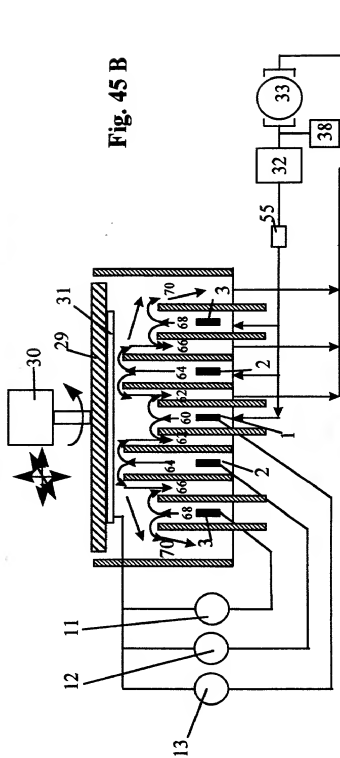
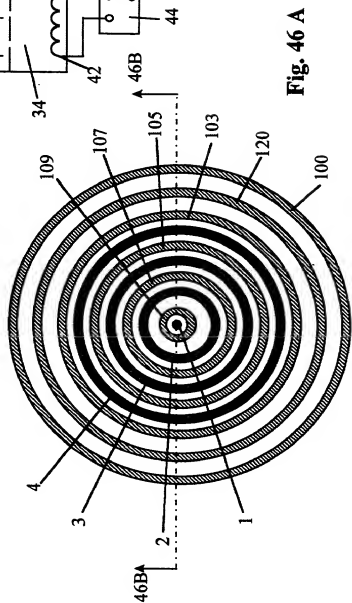
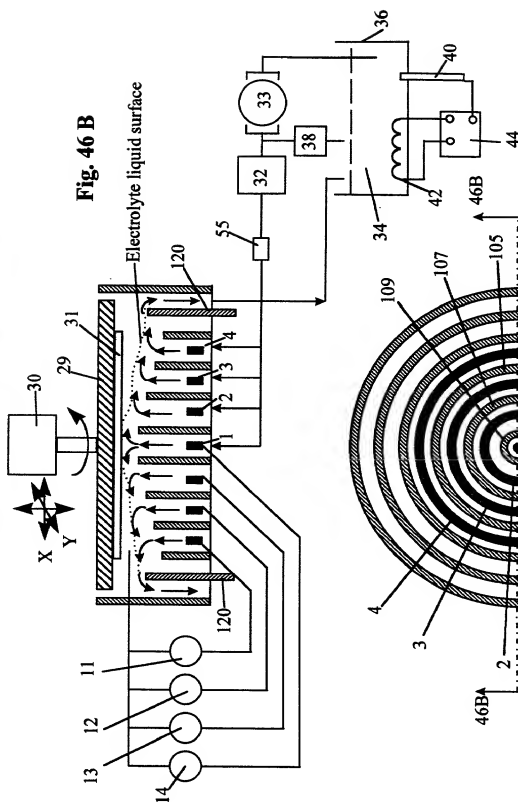
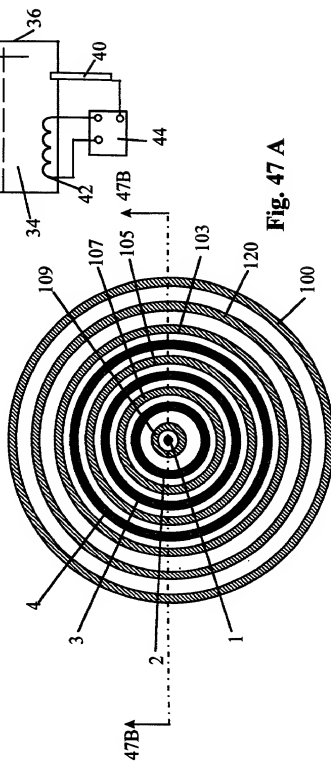
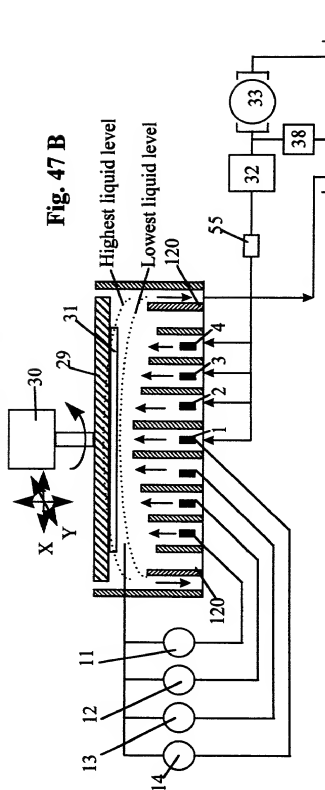


Fig. 44









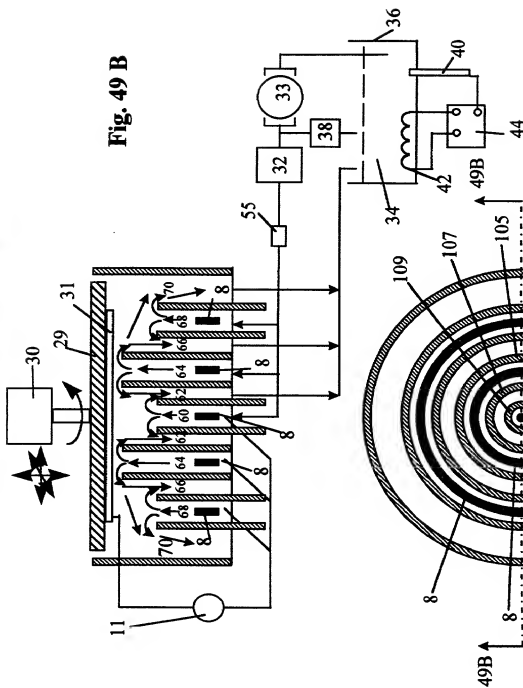


Fig. 49 B

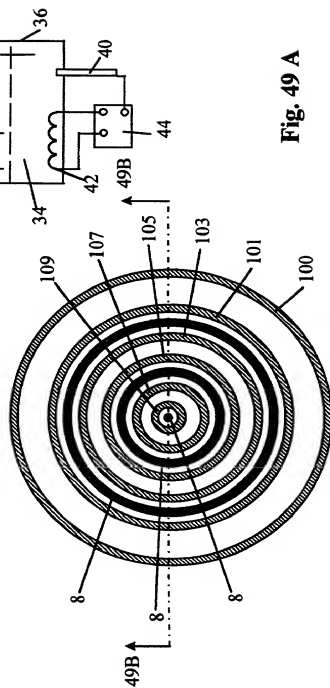
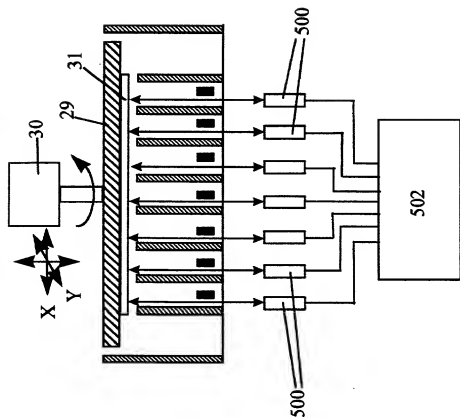


Fig. 49 A



**Fig. 50**

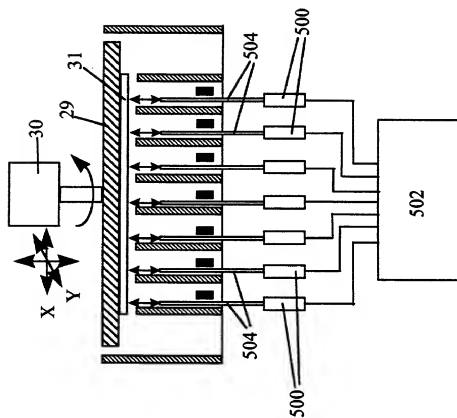
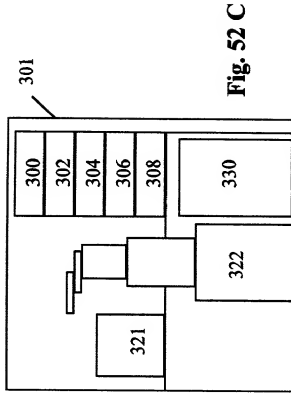
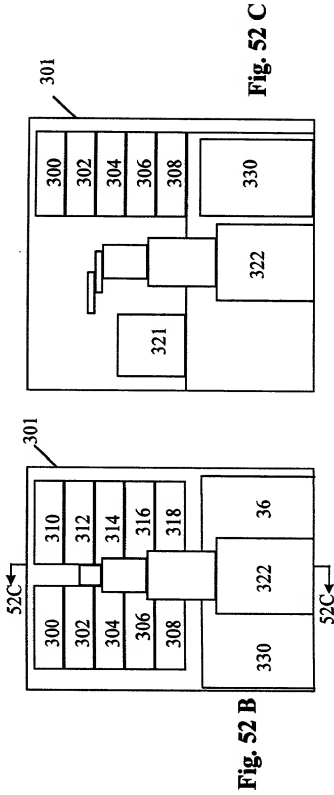
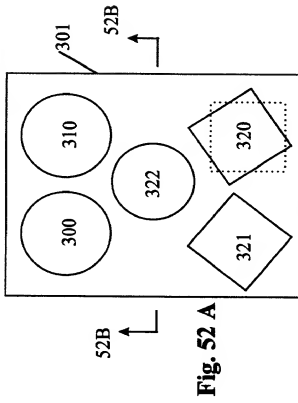


Fig. 51



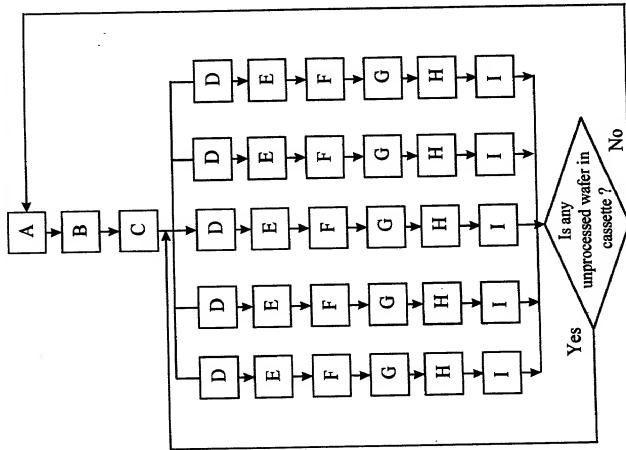


Fig. 53

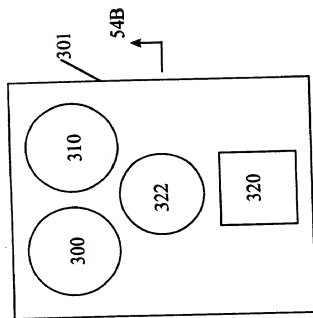


Fig. 54 A

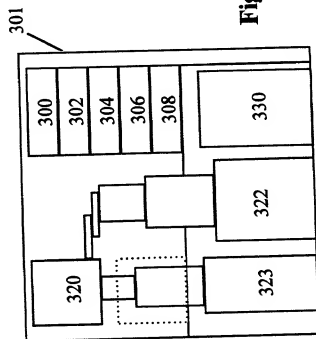


Fig. 54 C

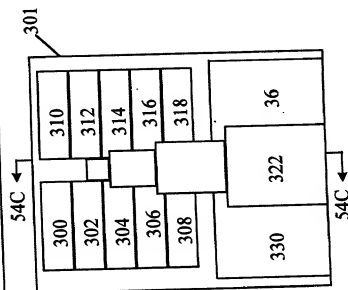
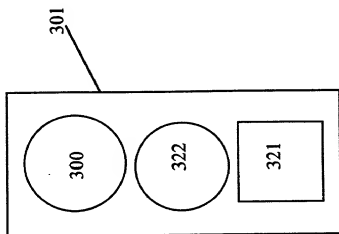
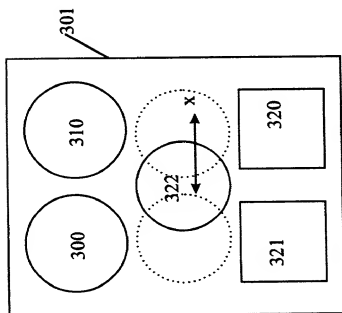


Fig. 54 B

**Fig. 56****Fig. 55**

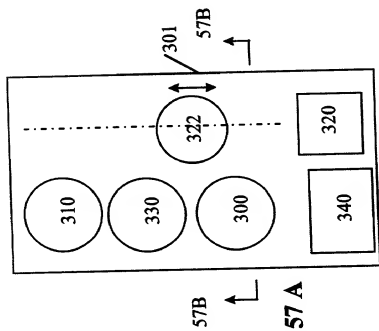


Fig. 57 A

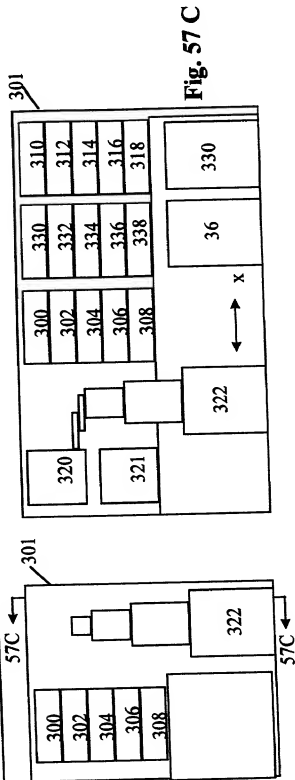


Fig. 57 B

Fig. 57 C

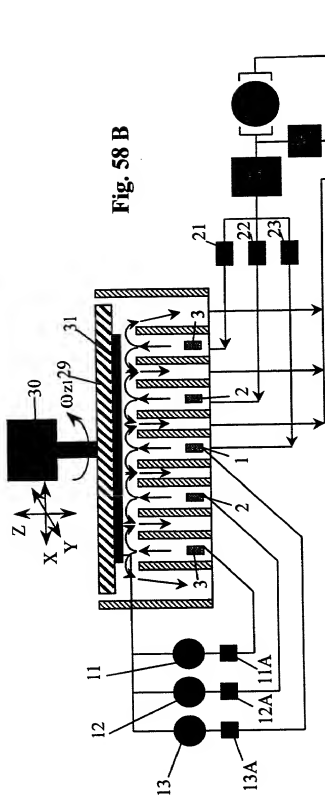


Fig. 58 B

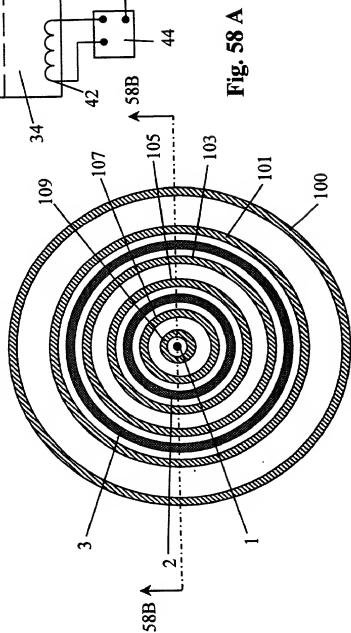


Fig. 58 A



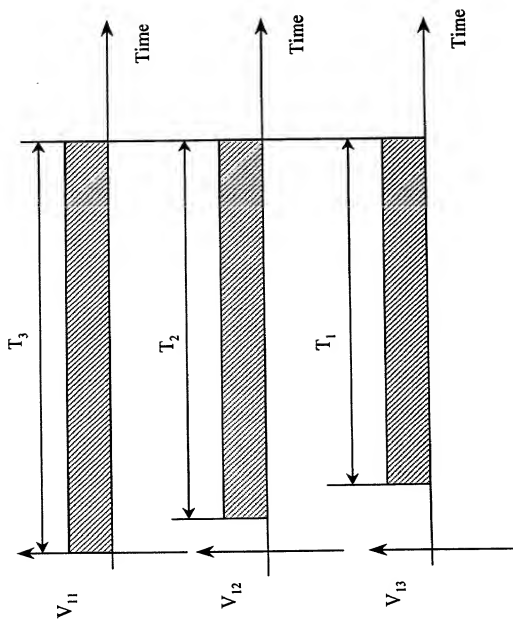


Fig. 59

TO 5110 2222 2200

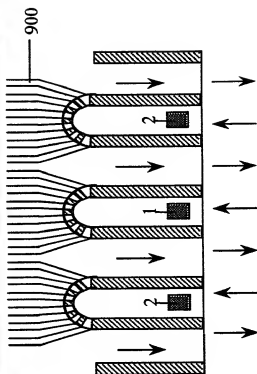


Fig. 60 B

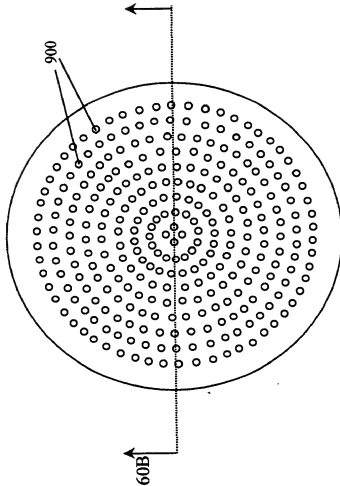


Fig. 60 A

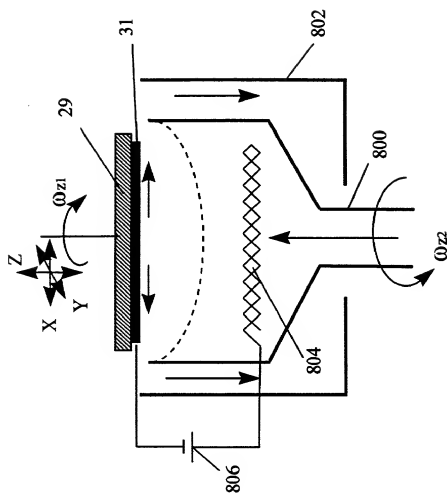


Fig. 61



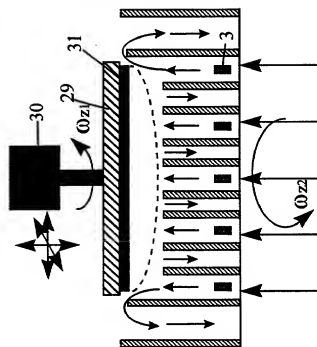


Fig. 64

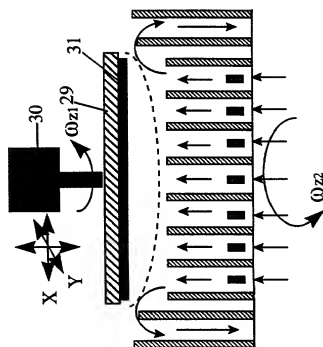


Fig. 65

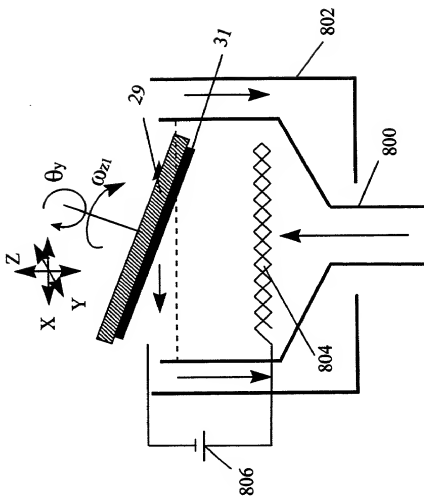
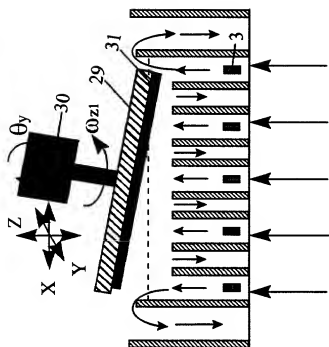
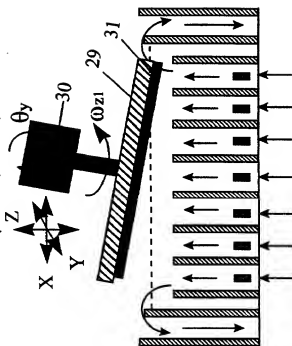


Fig. 66



**Fig. 67**



**Fig. 68**

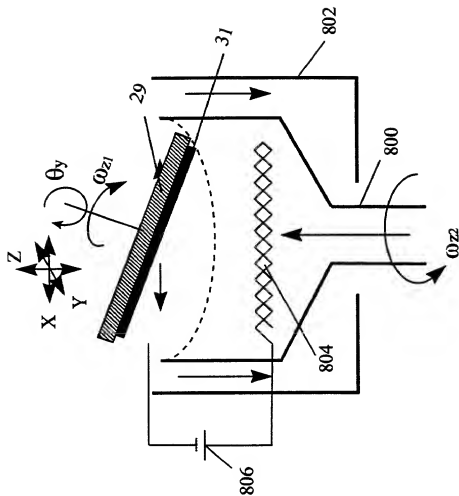


Fig. 69



